

Investigating the effect of Sulforaphane on Angiogenesis in Chick's Chorioallantoic membrane and its antioxidant activities

Shahin Shdiani¹, Javad Baharara², Alireza Iranbakhsh³, Tayebeh Ramezani⁴

Background and Aim: Sulforaphane is a type of isothiocyanate with anticancer effects. In the present study, the effect of sulforaphane in angiogenesis in chicks' chorioallantoic membrane was investigated.

Materials and Methods: In this experimental study, a total of 56 fertilized eggs were divided into 7 groups of eight with three replications: control, control-Experimental and five treatment groups treated with sulforaphane (50,100,200,400 and 800 μ g/ml, respectively). On the 2nd day of incubation, a window opened on every egg. On the 8th day, treatment was done. On the 12th day, all CAMs were examined and photographed and the number and length of the vessels around the sponges, weight, and length (CR) of chick embryo were determined. Besides, every vessel hemoglobin content was measured using Drabkyn, s test. The antioxidant effect of sulforaphane was assessed by means of ABTS and DPPH assay. The obtained data were statistically analyzed using ANOVA and SPSS software (V: 16) at the significant level of 0.05.

Results: It was found that 50 μ g/ml of sulforaphane did not have any significant effect on the angiogenic process, but 100, 200, 400 and 800 μ g/ml of sulforaphane; i.e in a dose-dependent manner led to a decrease in number, length, and hemoglobin content of the blood vessels. Moreover, embryo weight and CR decreased compared with the control. The results from DPPH and ABTS assay showed that Sulforaphane, dose-dependently, inhibits the activity of free radicals.

Conclusion: Sulforaphane has anti-angiogenic and anti-oxidant properties, and it can be a suitable candidate for the treatment of diseases associated with angiogenesis.

Key Words: Angiogenesis, Chorioallantoic Membrane, Sulforaphane, Antioxidant Activities

Journal of Birjand University of Medical Sciences. 2017; 24(3): 179-189.

Received: October 2, 2016, Accepted: November 19, 2017

¹ Department of Biology, Faculty of Basic Sciences, Mashhad Branch, Islamic Azad University, Mashhad, Iran.

² Corresponding Author; Applied Biology Research Center for the Development of Animal, Department of Biology, Islamic Azad University of Mashhad, Mashhad, Iran. Email: baharara@yahoo.com Tel: 38437092 -051 Fax: 38437092 -051

³ Department of Biology, Islamic Azad University, Science and Research, Tehran, Iran.

⁴ Khwarizmi's School of Biological Sciences, University of Tehran, Iran.

اثر سولفورافن بر رگزایی در پرده کوریو الانتوئیک جوجه و بررسی فعالیت آنتیاکسیدانی آن

شهین شادیانی^۱, جواد بهار آرا^۲, علیرضا ایرانبخش^۳, طبیه رمضانی^۴

چکیده

زمینه و هدف: سولفورافن نوعی ایزوتوپوسیاتات با اثرات ضد سرطانی است. در این مطالعه، اثر سولفورافن بر رگزایی در پرده کوریو الانتوئیک جوجه و فعالیت آنتیاکسیدانی آن بررسی شد.

روشن تحقیق: در این مطالعه تجربی آزمایشگاهی، تخم مرغ نطفه دار به طور تصادفی در ۷ گروه هشت تابی شامل گروههای: شاهد، شاهد آزمایشگاهی و پنج گروه تیمار با دوزهای ۵۰، ۱۰۰، ۲۰۰، ۴۰۰ و ۸۰۰ µg/ml سولفورافن در سه تکرار تقسیم شدند. در روز دوم انکوباسیون، پنجره ای روی تخم مرغ ها ایجاد و در روز هشتم تیمار انجام شد. روز دوازدهم، از تمام نمونه ها عکس تهیه شد و تعداد و طول انشعابات عروقی روی پرده کوریو الانتوئیک و نیز در جنین ها، وزن و طول سری-دمی محتوی هموگلوبین عروق، با آزمون درابکین اندازه گیری شد. اثرات آنتیاکسیدان سولفورافن با آزمون DPPH و ABTS بررسی شد. نتایج با آزمون آنالیز واریانس یک طرفه (ANOVA) و نرم افزار SPSS (نسخه ۱۶) در سطح معنی داری $0.05 / 0.05$ تجزیه و تحلیل شد.

یافته ها: نتایج مطالعه نشان داد، در غلظت ۵۰ µg/ml سولفورافن، اثرات معنی داری بر روند رگزایی مشاهده نشد؛ در حالی که در غلظت های ۱۰۰، ۲۰۰، ۴۰۰ و ۸۰۰ µg/ml از سولفورافن به صورت وابسته به دوز منجر به مهار تعداد، طول و محتوی هموگلوبین عروق خونی و کاهش وزن جنین ها و طول سری-دمی در مقایسه با گروه کنترل گردید. نتایج حاصل از آزمون های آنتیاکسیدان DPPH و ABTS نشان داد که این ماده به صورت وابسته به دوز منجر به مهار رادیکال های آزاد می گردد.

نتیجه گیری: سولفورافن دارای خواص ضد رگزایی و آنتیاکسیدانی است و می تواند کاندیدای مناسب برای درمان بیماری های مرتبط با رگزایی باشد.

واژه های کلیدی: رگزایی، پرده کوریو الانتوئیک، سولفورافن، فعالیت آنتیاکسیدانی

مجله علمی دانشگاه علوم پزشکی بیرونی. ۱۳۹۶: ۱۷۹-۱۸۹.

دربافت: ۱۳۹۵/۰۷/۱۱ پذیرش: ۱۳۹۶/۰۸/۲۸

^۱ گروه زیست شناسی، دانشکده علوم پایه، دانشگاه آزاد اسلامی مشهد، مشهد، ایران.

^۲ نویسنده مسؤول؛ مرکز تحقیقات بیولوژی کاربردی تکوین جانوری و گروه زیست شناسی، دانشگاه آزاد اسلامی واحد مشهد، مشهد، ایران.

آدرس: مشهد- دانشگاه آزاد اسلامی واحد مشهد- مرکز تحقیقات بیولوژی کاربردی تکوین جانوری و گروه زیست شناسی

تلفن: ۰۵۱-۳۸۴۳۷۰۹۲-۰۵۱-۳۸۴۳۷۰۹۲. پست الکترونیکی: baharara@yahoo.com

^۳ گروه زیست شناسی، دانشگاه آزاد اسلامی واحد علوم تحقیقات تهران، تهران، ایران.

^۴ دانشکده علوم زیستی، دانشگاه خوارزمی تهران، تهران، ایران.

مقدمه

خواص ضد باکتریایی، ضد هیستون داستیلаз، خاصیت آنتیاکسیدانی، ضد متاستازی و غیره اشاره نمود (۸). تولید رادیکال‌های آزاد، مسئله‌ای طبیعی است و در طی عمل تنفس به وجود می‌آید. اگر به طور ناگهانی تعداد زیادی رادیکال آزاد در بدن تولید شود، باعث تخریب عمل سلول یا حتی مرگ و ایجاد ناهنجاری‌هایی مانند: پیری زودرس، سرطان و تصلب شرائین می‌شود (۹). اثر زیان‌بخش رادیکال‌های آزاد را می‌توان توسط آنتیاکسیدان‌ها کاهش داد. امروزه استفاده از عصاره‌های گیاهی یا متابولیت‌های ثانویه استخراج شده از گیاهان به عنوان آنتیاکسیدان‌ها در صنایع پزشکی، دارویی و صنایع غذایی کاربرد وسیعی پیدا نموده است (۱۰). از سوی دیگر مطالعه رگزایی به عنوان ایده‌ای نوین در کنترل و درمان انواعی از اختلالات وابسته به رگزایی به ویژه رشد و متاستاز تومور مطرح شده است. تاکنون اثر سولفورافن بر رگزایی در مدل (CAM) بررسی نگردیده است. در این مطالعه، اثر احتمالی زیستی این ماده در مدل پرده کوریوآلانتوئیک جوجه و ارزیابی فعالیت آنتیاکسیدانی آن ارزیابی شد.

روش تحقیق

این مطالعه تجربی آزمایشگاهی، در سال ۱۳۹۴ در آزمایشگاه تحقیقاتی زیست‌شناسی تکوینی جانوری گروه زیست‌شناسی دانشگاه آزاد اسلامی مشهد انجام شد. از تخم‌مرغ‌های نطفه‌دار نژاد Ross به عنوان مدل آزمایشگاهی استفاده شد. نمونه‌های مورد مطالعه از شرکت مرغداران طوس g/mol مشهد تهیه گردید. سولفورافن (با وزن مولکولی C₆H₁₁NOS₂) در این مطالعه تجربی از شرکت سیگما خریداری گردید. در مطالعات آزمایشگاهی، تعداد ۱۶۸ تخم‌مرغ نطفه‌دار نژاد راس در سه تکرار تهیه شد و در هر تکرار، در ۷ گروه ۸ تایی به صورت تصادفی توزیع شدند.

رگزایی^۱، از مهمترین وقایع زیستی است که با تولید رگ‌های جدید از عروق پیشین در بسیاری از مراحل رشد و نمو جنبی رخ می‌دهد (۱). این فرآیند، نقش مهمی در وقایع فیزیولوژیک مانند: رشد و نمو، ترمیم زخم و تولید مثل و همچنین در وقایع پاتولوژیک از قبیل: رشد و متاستاز تومور و انواعی از بیماری‌های مزمن دارد (۲).

اولین بار Folkman در سال ۱۹۷۱ نشان داد که رشد بافت سرطانی، به رگزایی بستگی دارد. وی همچنین پیشنهاد کرد که مهار رگزایی می‌تواند یک روش درمانی برای سرطان باشد (۳). به طور کلی فرآیند رگزایی تحت تأثیر عوامل مختلف است و در برگیرنده یک سری رخدادهای سلولی از قبیل: مهاجرت، تکثیر و تمایز سلول‌های اندوتیال و در نهایت تشکیل عروق، بلوغ و بازسازی نهایی آنها می‌باشد. این فرآیند، وابسته به تعادل دقیق بین فاکتورهای تحریک‌کننده و مهارکننده طبیعی درون بدن است. در صورتی که این تعادل از حالت طبیعی خارج شود، شرایط برای بروز بیماری‌هایی مانند: رگزایی قرنیه، اندومنتریوز، چاقی، آترواسکلروز، پسوریاژیس و رشد و متاستاز تومورها فراهم می‌گردد؛ بنابراین مهار دارویی رگزایی می‌تواند در درمان برخی بیماری‌ها و سرطان‌ها مؤثر باشد (۴). بدین منظور در سال‌های اخیر، مهار رگزایی به عنوان ایده‌ای نوین در کنترل و درمان انواعی از اختلالات وابسته به رگزایی به ویژه رشد و متاستاز تومور مطرح شده است (۵).

سولفورافن (SFN)، نوعی ایزوتیوسانات با نام علمی [1-Isothiocyanate-(4R)-butane:CH₃S(O)(CH₂)₄-N=C=S] است که به دلیل اثرات بازدارنده آن بر رشد تومور در محیط درون‌تنی و برون‌تنی که وابسته به تأثیر مستقیم بر سلول‌های سرطانی می‌باشد، مورد استفاده قرار گرفته است (۶-۷). از مهمترین خواص درمانی و کلینیکی سولفورافن می‌توان به القای آپوپتوز،

¹ Angiogenesis

پنجره‌ها، با لامل و پارافین پوشانده (۱۱) و به‌طور مجدد به انکوباتور برگردانده شد. در روز دوازدهم در تمام نمونه‌ها، از محدوده اسفنج ژلاتینی، تصاویری از عروق خونی سطح پرده کوریو الانتوئیک به‌کمک فتواسترئومیکروسکوپ تحقیقاتی (Ziess- Germany) عکس تهیه گردید؛ سپس با نرم‌افزار J Image تعداد انشعابات، شمارش شد و نیز طول عروق خونی تعیین گردید. همچنین طول سری - دمی جنین‌ها با کولیس و وزن آنها با ترازوی دیجیتال، اندازه‌گیری شد (۱۱).

اندازه‌گیری هموگلوبین خون:

برای سنجش غلظت هموگلوبین، از معروف درابکین استفاده شد. بدین‌منظور در ابتداء پرده کوریو الانتوئیک جوجه به همراه رگ‌های خونی با دقّت جدا شد؛ سپس کیسه زرده و پرده کوریو الانتوئیک به‌مدّت ۱۰ دقیقه کاملاً هموژنايز شد. در مرحله بعد، ۲۴ میکرولیتر از محلول رویی حاصل به میکروتیوب حاوی ۳ میلی‌لیتر معروف درابکین اضافه گردید. در ادامه به‌مدّت ۱۰ دقیقه با سرعت ۵۰۰ دور در دقیقه سانتریفیوژ انجام شد؛ سپس ۱۰۰ میکرولیتر از محلول شفاف رویی به پلیت ۶۹ تایی منتقل و بلافاصله جذب نوری آن توسط دستگاه اسپکتروفتومتر در طول موج ۵۴۶ نانومتر قرائت شد و برای محاسبه محتوی هموگلوبین (مطابق دستور عمل همراه کیت)، جذب به‌دست‌آمده در عدد ثابت $36/8$ ضرب گردید. غلظت هموگلوبین به عنوان معیاری برای سنجش تراکم عروق استفاده گردید. با مقایسه غلظت هموگلوبین در گروه‌های مختلف می‌توان به تجزیه و تحلیل میزان رگزایی به شیوه‌ای متفاوت پرداخت (۱۱).

آزمون‌های آنتیاکسیدانی:

۱- اندازه‌گیری میزان خواص آنتیاکسیدانی به روش DPPH استفاده از رادیکال DPPH برای بررسی خاصیت آنتیاکسیدانی انسان‌های گیاهی و به‌طور کلی

هر تکرار شامل:

- ۱) گروه شاهد که در شرایط طبیعی نگهداری گردید؛
- ۲) گروه شاهد آزمایشگاهی که با محلول حاوی ۱۰۰ میکرولیتر حلal دایمتیل‌سولفوساید (DMSO) و ۹۰۰ میکرولیتر فسفات‌بافر سالین (PBS) تیمار گردید؛
- ۳) گروه‌های تجربی ۱، ۲، ۳، ۴ و ۵ که با غلظت‌های ۵، ۱۰۰، ۲۰۰، ۴۰۰ و ۸۰۰ میکروگرم بر میلی‌لیتر از محلول سولفورافن تیمار گردیدند (۱۹، ۲۰، ۲۱).

آزمون پرده کوریو الانتوئیک:

تخممرغ‌ها با الكل ۷۰ درصد ضد عفونی شد و در دستگاه جوجه‌کشی با دمای تقریبی ۳۸ درجه سانتی‌گراد و رطوبت نسبی ۵۰ درصد (شرکت درنا سیستم پارس، ایران)، قرار گرفت. در روز دوم انکوباسیون، در شرایط کاملاً استریل ایجادشده توسط هود لامینار (Telstar AV-100- Spain)، ابتداء قسمتی از پوسته تخممرغ‌ها برداشته شد و پنجره‌ای در یک طرف آن ایجاد گردید. پنجره با لامل و پارافین (پارافین پاتولوژیکی فارا- ایران) پوشانده شد و به‌طور مجدد داخل انکوباتور قرار گرفت. از آنجا که پرده کوریو الانتوئیک از روز پنجم انکوباسیون شروع به تشکیل می‌نماید و در روز هشتم بیش از نیمی از وسعت درون تخممرغ را اشغال می‌کند و همچنین در این روز قلب به‌طور کامل تشکیل و جدایی خون سیاهرگی و سرخرگی اتفاق می‌افتد، بنابراین بررسی شبکه عروقی در روز هشتم انکوباسیون انجام گرفت. از این رو در روز هشتم انکوباسیون، در شرایط استریل پنجره‌ها برداشته شد و روی پرده کوریو الانتوئیک اسفنج ژلاتینی (به ابعاد $4 \times 4 \times 1$ میلی‌متر) که شامل آلبومین سفیده تخممرغ و محلول آگار در DMSO به نسبت مساوی بود، قرار گرفت.

در نمونه‌های تیمار با سولفورافن، به ترتیب ۱۰ میکرولیتر از غلظت‌های مذکور، به محل اسفنج تزریق شد؛ در نمونه شاهد آزمایشگاهی، به محل اسفنج ۱۰ میکرولیتر از محلول DMSO+PBS تزریق گردید و نمونه شاهد بدون تزریق و در شرایط طبیعی تا روز دوازدهم در انکوباسیون نگهداری شد.

^۱ 2,2-Diphenyl-1-Picrylhydrazyl

به آنها اضافه گردید و بعد از گذشت ۱۵ دقیقه، جذب آنها در طول موج ۷۳۴ نانومتر خوانده شد. همچنین به یکی از لوله‌های آزمایش، به جای نمونه، اتانول اضافه شد (به عنوان کنترل) و جذب آن در لحظه اول و نیز بعد از گذشت ۱۵ دقیقه خوانده شد. سپس درصد بازدارندگی نمونه مورد نظر، از طریق فرمول زیر محاسبه و در مقایسه با آنتیاکسیدان سنتزی بوتیل‌هیدروکسی (BHA) گزارش شد (۱۳):

$$I = \frac{[1 - (Ab(15) - As(15)) / Ab(15)] \times 100\%}{As(15)} \quad (1)$$

در این رابطه، $Ab(15)$ میزان جذب شاهد بعد از ۱۵ دقیقه، $As(15)$ میزان جذب نمونه بعد از ۱۵ دقیقه و I درصد بازدارندگی است.

آنالیزهای آماری:

داده‌ها توسط نرم‌افزار SPSS (ویرایش ۱۶) و با استفاده از آزمون‌های آماری ANOVA، t-test و آزمون تعقیبی Dunnett در سطح معنی‌داری 0.05 تجزیه و تحلیل گردید. نمودارها نیز توسط نرم‌افزار Excel رسم شد.

یافته‌ها

عروق خونی گسترش یافته بر سطح پرده کوریوآلانتوئیک، در روز دوازدهم انکوباسیون مشاهده شد. نتایج حاصل از مقایسه میانگین تعداد و طول انشعابات عروقی طبق جدول یک، در نمونه‌های شاهد با میانگین تعداد و طول انشعابات عروقی در گروه شاهد آزمایشگاهی، هیچ‌گونه اختلاف معنی‌داری نشان نداد. میانگین طول انشعابات عروق در گروه‌های تجربی بجز گروه تجربی یک (50 میکروگرم بر میلی‌لیتر ($P=0.85$) نسبت به شاهد، کاهش معنی‌داری نشان داد. میانگین تعداد عروق در گروه‌های تجربی نسبت به گروه شاهد اختلاف معنی‌دار داشت ($P=0.0001$) و نشان داد که با افزایش غلظت، تعداد عروق کاهش می‌یابد. با توجه به ستون اندازه اثر، مشخص می‌شود که اندازه اثر با غلظت رابطه مستقیم دارد؛ یعنی افزایش غلظت باعث افزایش اندازه اثر در طول و تعداد انشعابات می‌شود.

آنتیاکسیدان‌های طبیعی، به یکی از پرکاربردترین روش‌های سنجش قدرت آنتیاکسیدانی تبدیل شده است. علت این امر، سادگی و حساسیت بالای این روش است. این رادیکال، بالاترین میزان جذب خود را در طول موج ۵۱۷-۵۱۵ نانومتر نشان می‌دهد. رادیکال DPPH در اثر جذب هیدروژن از یک آنتیاکسیدان به DPPH پایدار (غیر رادیکالی) تبدیل می‌شود که در اثر این تبدیل، رنگ آن به مرور از بنفس تیره به زرد روشن تبدیل می‌شود و در نتیجه میزان جذب در طول موج ۵۱۵-۵۱۷ نانومتر کاهش می‌یابد (۱۲).

برای سنجش میزان خاصیت آنتیاکسیدانی، مقدار $50-350$ میکرولیتر از نمونه مورد نظر به $30-10$ میکرولیتر متانول مطلق اضافه گردید؛ سپس $10-40$ میکرولیتر محلول 30 دقیقه DPPH در متانول، به آن اضافه و بعد از 30 دقیقه جذب آنها با استفاده از اسپکتروفوتومتر قرائت شد. در نهایت میزان فعالیت حذف‌کنندگی رادیکال با استفاده از فرمول زیر و در مقایسه با آنتیاکسیدان سنتزی بوتیل‌هیدروکسی (BHA) تعیین شد (۱۲):

$$\% RSA = [1 - ((Ac - As) / Ac) \times 100]$$

در این رابطه، As میزان جذب نمونه، Ac میزان جذب شاهد و RSA فعالیت حذف‌کنندگی رادیکال آزاد است.

۲- اندازه‌گیری خاصیت آنتیاکسیدانی با ABTS^۱:

در این مطالعه، برای تهیه رادیکال پایدار ABTS، ابتدا محلول 7 مولار ABTS تهیه شد؛ سپس این محلول توسط پرسولفات‌پتابسیم، اکسید گردید و محلول به دست آمده به مدت $12-16$ ساعت در تاریکی قرار گرفت. بعد از گذشت این زمان، محلول رادیکال کاتیون به دست آمده بهوسیله اتانول خالص، 5 بار رقیق و سپس از آن استفاده گردید. به این ترتیب که در هر یک از لوله‌های آزمایش آماده شده، 10 میکرولیتر از این محلول ریخته شد؛ آنگاه 100 میکرولیتر از نمونه آنتیاکسیدان

¹ Butyl-4-Hydroxyanisole

² Biochemistry, 2,2'-Azino-Bis

مقایسه میانگین طول سری- نشیمنگاهی جنین‌های ۱۲ روزه در گروه‌های شاهد آزمایشگاهی و تجربی با غلظت ۵۰ (p=۰/۴) میکروگرم بر میلی‌لیتر نسبت به گروه شاهد، کاهش معنی‌داری را نشان نداد؛ اما در سایر گروه‌ها کاهش معنی‌داری مشاهده شد. مقایسه میانگین وزن جنین‌ها در گروه شاهد با شاهد آزمایشگاهی، اختلاف معنی‌داری نشان نداد. میانگین وزن جنین‌ها در گروه‌های تجربی بجز گروه یک (P=۰/۸) نسبت به گروه شاهد اختلاف معنی‌دار داشت (جدول ۲) (شکل ۱) و نشان داد که با افزایش غلظت، وزن جوجه کاهش یابد.

در مقایسه میانگین طول انشعابات و تعداد عروق در گروه‌های تجربی نسبت به گروه شاهد آزمایشگاهی در جدول یک، ملاحظه می‌شود که میانگین طول انشعابات و تعداد عروق گروه‌های تجربی نسبت به شاهد آزمایشگاهی کاهش یافت. مقادیر احتمال حاصل از آزمون t-test نشان داد اختلاف معنی‌داری در مقایسه میانگین طول انشعابات و تعداد عروق تک تک گروه‌های تجربی با شاهد آزمایشگاهی وجود داشت. اندازه اثر نیز با افزایش غلظت افزایش یافت؛ یعنی تغییر غلظت در گروه‌های تجربی بر تغییر طول انشعابات و تعداد عروق تأثیر داشت. همه گروه‌های تجربی در طیف اندازه اثر بالا قرار گرفتند. چون اندازه اثر تحت تأثیر اندازه نمونه نمی‌باشد، بنابراین از اهمیت بالایی برخوردار است (جدول ۱).

نتایج حاصل از سنجش میانگین طول انشعابات و تعداد عروق نشان داد که میانگین طول انشعابات و تعداد عروق در نمونه شاهد با نمونه شاهد آزمایشگاهی اختلاف معنی‌داری نداشت؛ بنابراین گروه‌های تجربی با گروه شاهد آزمایشگاهی نتایج حاصل از سنجش میانگین طول انشعابات و تعداد عروق نشان داد که میانگین طول انشعابات و تعداد عروق در نمونه شاهد با نمونه شاهد آزمایشگاهی اختلاف معنی‌داری نداشت؛ بنابراین گروه‌های تجربی با گروه شاهد آزمایشگاهی نتایج حاصل از سنجش میانگین طول انشعابات و تعداد عروق نشان داد که میانگین طول انشعابات و تعداد عروق در نمونه شاهد با نمونه شاهد آزمایشگاهی اختلاف معنی‌داری نداشت؛ بنابراین گروه‌های تجربی با گروه شاهد آزمایشگاهی

جدول ۱- مقایسه میانگین طول و تعداد انشعابات عروقی در گروه‌های مورد مطالعه

گروه‌های تجربی	میانگین طول انشعابات	سطح عروق بر میلی‌متر (Mean±SD)	آزمون t-test	اندازه اثر مجذوراتا	میانگین تعداد عروق (Mean±SD)	سطح معنی‌داری آزمون t-test	اندازه اثر مجذوراتا	میانگین عروق معرفی داری آزمون t-test	اندازه اثر مجذوراتا	میانگین عروق معرفی داری آزمون t-test	میانگین عروق معرفی داری آزمون t-test
		(Mean±SD)			(Mean±SD)					(Mean±SD)	(Mean±SD)
شاهد	۳۴/۱۵±۰/۵۲	-	-	-	۱۳/۹۵±۰/۷۲	-	-	-	-	-	-
شاهد آزمایشگاهی	۳۵/۰۷±۰/۵۱	-	-	-	۱۴/۸±۰/۸۴	-	-	-	-	-	-
تجربی ۱	۳۳/۸۹±۰/۵۲	-	-	-	۱۰/۷±۰/۸۴	-	-	-	-	-	-
تجربی ۲	۳۱/۳۶±۰/۸۷	-	-	-	۹/۹۵±۰/۳۷	-	-	-	-	-	-
تجربی ۳	۲۹/۳۶±۰/۵۲	-	-	-	۸/۵±۰/۶۱	-	-	-	-	-	-
تجربی ۴	۲۶/۴۶±۰/۹۹	-	-	-	۶/۸±۰/۲۷	-	-	-	-	-	-
تجربی ۵	۲۳/۵۴±۰/۹۶	-	-	-	۵/۵±۰/۶۱	-	-	-	-	-	-

جدول ۲- مقایسه میانگین وزن و طول سری- نشیمنگاهی جنین‌ها در گروه‌های مورد مطالعه

گروه‌های تجربی	میانگین طول سری - دمی جنین‌ها بر حسب سانتی‌متر (Mean±SD)	وزن ججه بر حسب گرم (Mean±SD)	p-value	اندازه اثر مجذوراتا	اندازه اثر مجذوراتا	p-value	وزن ججه بر حسب گرم (Mean±SD)	اندازه اثر مجذوراتا	اندازه اثر مجذوراتا	p-value
	(Mean±SD)	(Mean±SD)					(Mean±SD)			
شاهد	۳/۸۴±۰/۱۱	-	-	-	-	-	۳/۲۲±۰/۲۱	-	-	-
شاهد آزمایشگاهی	۳/۹۲±۰/۰۸	-	-	-	-	-	۳/۳۲±۰/۳۴	-	-	-
تجربی ۱	۳/۷۴±۰/۲۲	-	-	-	-	-	۲/۷۹±۰/۰۸	-	-	-
تجربی ۲	۳/۶۴±۰/۱۵	-	-	-	-	-	۲/۵۱±۰/۰۵	-	-	-
تجربی ۳	۳/۴۶±۰/۲۳	-	-	-	-	-	۲/۳۹±۰/۰۳	-	-	-
تجربی ۴	۳/۱۶±۰/۴۴	-	-	-	-	-	۲/۳±۰/۰۶	-	-	-
تجربی ۵	۲/۸۲±۰/۴۹	-	-	-	-	-	۲/۱۹±۰/۰۵	-	-	-

طول سری-دمی و وزن جوجه تأثیر داشته است. همه گروه‌های تجربی در طیف اندازه اثر بالا قرار گرفتند (جدول ۲). نتایج حاصل از سنجش غلظت هموگلوبین نشان داد که میانگین غلظت هموگلوبین در نمونه شاهد با نمونه شاهد آزمایشگاهی اختلاف معنی‌داری نداشت؛ بنابراین گروه‌های تجربی با گروه شاهد آزمایشگاهی مقایسه شدند.

در مقایسه میانگین غلظت هموگلوبین در گروه‌های تجربی نسبت به گروه شاهد آزمایشگاهی در جدول ۳ ملاحظه می‌شود که میانگین غلظت هموگلوبین گروه‌های تجربی نسبت به گروه شاهد آزمایشگاهی کاهش یافت. مقادیر احتمال حاصل از آزمون t-test نشان داد، اختلاف معنی‌داری در مقایسه میانگین غلظت هموگلوبین تک تک گروه‌های تجربی با گروه شاهد آزمایشگاهی وجود داشت. اندازه اثر نیز با افزایش غلظت افزایش یافت؛ یعنی تغییر غلظت در گروه‌های تجربی بر تغییر غلظت هموگلوبین تأثیر داشت و همه گروه‌های تجربی در طیف اندازه اثر بالا قرار گرفتند (جدول ۳).

نتایج حاصل از سنجش میانگین طول سری-دمی و وزن جوجه نشان داد که میانگین طول سری-دمی و وزن جوجه در نمونه شاهد با نمونه شاهد آزمایشگاهی اختلاف معنی‌داری نداشت؛ بنابراین گروه‌های تجربی با گروه شاهد آزمایشگاهی مقایسه شدند. در مقایسه میانگین طول سری-دمی و وزن جوجه در گروه‌های تجربی نسبت به گروه شاهد آزمایشگاهی در جدول ۲، ملاحظه می‌شود که میانگین طول سری-دمی و وزن جوجه گروه‌های تجربی نسبت به شاهد آزمایشگاهی کاهش یافته است. مقادیر احتمال حاصل از آزمون t-test نشان داد که اختلاف معنی‌داری در مقایسه میانگین وزن جوجه تک تک گروه‌های تجربی با گروه شاهد آزمایشگاهی وجود داشت. در مقایسه میانگین طول سری-دمی گروه‌های تجربی با گروه شاهد آزمایشگاهی، گروه تجربی یک اختلاف معنی‌داری با گروه شاهد آزمایشگاهی نداشت، ولی میانگین طول سری-دمی سایر گروه‌ها با گروه شاهد آزمایشگاهی تفاوت معنی‌داری داشت. اندازه اثر نیز با افزایش غلظت افزایش یافت؛ یعنی تغییر غلظت در گروه‌های تجربی بر تغییر

جدول ۳- مقایسه میانگین غلظت هموگلوبین عروق خونی در گروه‌های مورد مطالعه

گروه‌های تجربی	میانگین غلظت هموگلوبین بر حسب میکروگرم / میلی لیتر (Mean±SD)	معنی‌داری	سطح	اندازه اثر مجدور اتا
شاهد	۴/۵۵±۰/۳۹	-	-	-
شاهد آزمایشگاهی	۴/۶۱±۰/۴۱	.۰/۸۰۸		-
(۵۰ µg/ml) ۱	۲/۹۸±۰/۰۹	.۰/۰۲۴		.۰/۵۸۶
(۱۰۰ µg/ml) ۲	۳/۵۲±۰/۰۳	.۰/۰۰۴		.۰/۸۱۷
(۲۰۰ µg/ml) ۳	۳/۴۴±۰/۰۹	.۰/۰۰۲		.۰/۸۳۱
(۴۰۰ µg/ml) ۴	۳/۱۸±۰/۱۷	.۰/۰۰۱		.۰/۸۶۸
(۸۰۰ µg/ml) ۵	۲/۶۹±۰/۰۸	.۰/۰۰۰۱		.۰/۹۳



شکل ۱- مقایسه طول سری- نشیمنگاهی جنین‌ها در گروه‌های شاهد، شاهد آزمایشگاهی و گروه‌های تجربی ۱، ۲، ۳، ۴ و ۵

بحث

هدف از این مطالعه، بررسی اثرات ضد رگ‌زایی ماده مؤثره سولفورافن با استفاده از مدل پرده کوریو الانتوئیک جنین جوجه و نیز بررسی اثرات آنتی‌اکسیدانی آن با استفاده از آزمون‌های آنتی‌اکسیدانی بود.

آنژیوژن در پدیده‌های پاتولوژیک نظیر رشد و متاستاز تومورهای سرطانی، نقش مهمی ایفا می‌کند؛ بنابراین کنترل رگ‌زایی تومور، یکی از راه‌های درمانی امیدوارکننده در بحث سرطان‌شناسی می‌باشد. در استراتژی‌های درمان سرطان با روش‌های شیمیابی، مقاومت اکتسابی تومور به داروها، مشکلات عمدی را به وجود می‌آورد؛ اما در مهار سرطان به‌وسیله مهار رگ‌زایی، مقاومت سلولی مشاهده نمی‌شود؛ زیرا در این حالت سلول‌های مورد نظر یعنی سلول‌های اندوتیال، طبیعی هستند و از نظر ژنتیکی پایدار می‌باشند (۱۴).

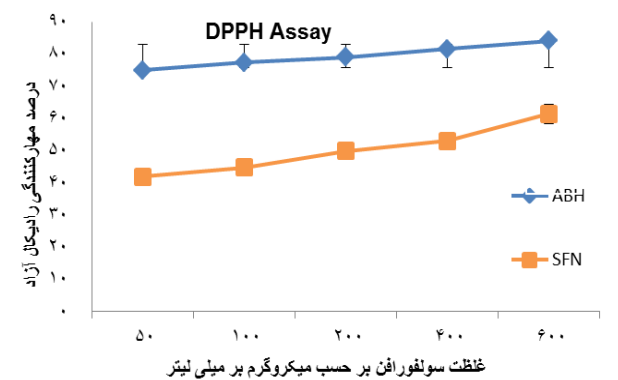
مدل‌های مختلفی برای مطالعه رگ‌زایی وجود دارد. محققان برای مطالعه آنژیوژن اقدام به طراحی مدل‌های درون‌تنی و برون‌تنی کردند و از آنها در زمینه‌های تحقیقاتی مختلف از جمله شناسایی فاکتورهای مهارکننده و القاکننده آنژیوژن برای کاربردهای درمانی بهره برده‌اند (۵). در میان مدل‌های مختلف، مدل پرده کوریو الانتوئیک (CAM) برای مطالعه آنژیوژن، از پر استفاده‌ترین مدل‌های درون‌تنی محسوب می‌شود. سادگی و سرعت سنجش‌های مختلف که به کمک جنین جوجه صورت می‌گیرد، انگیزه استفاده از این مدل را در پژوهش‌های فارماکولوژی و پزشکی تقویت می‌کند. علاوه بر این وجود ملاحظات اخلاقی در این مدل در مقایسه با دیگر مدل‌های درون‌تنی و با توجه به تجهیزات ساده مورد استفاده در آن، از امکان تکرارپذیری بالا برخوردار بوده و نتایج قابل اطمینانی را برای محقق فراهم می‌کند (۱۵).

محققین معتقدند که عوامل تعذیه‌ای، گیاهان و ترکیبات مؤثر آنها ممکن است شیمی‌درمانی را تحت تأثیر قرار داده و

روش‌های تعیین ظرفیت آنتی‌اکسیدانی:

۱- سنجش قدرت مهارکنندگی رادیکال DPPH

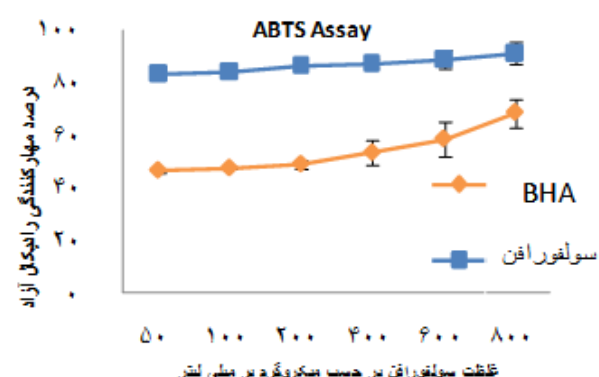
در این مطالعه مشخص شد که فعالیت به داماندازی رادیکال آزاد در تمامی غلظت‌های سولفورافن، با افزایش غلظت، افزایش می‌یابد. غلظتی که موجب مهار ۵۰٪ درصدی تولید رادیکال‌های آزاد گردید، حدود $300\text{ }\mu\text{g/ml}$ برای تست DPPH بود (نمودار ۱).



نمودار ۱- رابطه میان فعالیت حذف رادیکال آزاد DPPH سولفورافن در مقایسه با با آنتی‌اکسیدان سنتزی BHA. با افزایش غلظت میزان حذف رادیکال‌های آزاد افزایش می‌یابد (Mean±SD).

۲- آزمون رادیکال کاتیون ABTS

نتایج نشان داد که مهار رادیکال ABTS در تمامی غلظت‌های سولفورافن، با افزایش غلظت، افزایش می‌یابد. غلظتی که موجب مهار ۵۰٪ درصدی تولید رادیکال‌های آزاد گردید، $400\text{ }\mu\text{g/ml}$ برای تست ABTS بود (نمودار ۲).



نمودار ۲- مقایسه فعالیت آنتی‌رادیکالی سولفورافن با آنتی‌اکسیدان سنتزی BHA با روش ABTS. با افزایش غلظت سولفورافن در گروه‌های تجربی، مهار رادیکال‌های آزاد افزایش می‌یابد (Mean±SD).

پیشگیری شیمیایی به واسطه سولفورافن، مورد بررسی قرار دادند. آنها نشان دادند که سولفورافن، در تمام مراحل موردنیاز و اساسی تشکیل عروق جدید، از سیگنال‌دهی پیش از رگ‌زایی و استحکام غشای پایه تا تکثیر، مهاجرت سلول‌های اندوتیال و تشکیل لوله، مداخله می‌کند (۱۹).

Davis و همکاران در سال ۲۰۰۹ مکانیسم مولکولی اثرات ضد رگ‌زایی سولفورافن را بررسی نمودند. آنها گزارش نمودند، سولفورافن رگ‌زایی را از طریق تنظیم بیان ژن FOXO در سلول‌های اندوتیال بند ناف مهار می‌کند (۲۰). نتایج مطالعات بیان شده، با یافته‌های حاصل از تحقیق حاضر همسو بود.

در سال ۲۰۰۸ Yao و همکاران در مطالعه‌ای، اثرات سولفورافن بر بیان فاکتور القای هیپوکسی (HIF-1 α) در سلول‌های سرطانی پروستات در انسان بررسی نمودند. نتایج این تحقیق نشان داد که این ماده قادر به مهار HIF-1 α می‌باشد. آنها گزارش نمودند که مهار بیان HIF-1 α منجر به کاهش بیان VEGF می‌گردد و سولفورافن از این طریق، اثرات ضد رگ‌زایی خود را اعمال می‌کند (۲۱).

در سال ۲۰۱۰ Nishikawa و همکاران اثرات ضد رگ‌زایی سولفورافن بر القای آپوپتوz در سلول‌های اندوتیال عروقی بند ناف (HUVEC) و سلول‌های اندوتیال عروقی تومور (ECs) را مورد بررسی قرار دادند. نتایج این گروه نشان داد که این ماده سبب مهار رگ‌زایی در سلول‌های سرطانی روده بزرگ از طریق القای آپوپتوz می‌شود (۲۲). همچنین نتایج بررسی‌های آنتی‌اکسیدانی در این تحقیق نشان داد که سولفورافن باعث مهار تولید رادیکال‌های آزاد به صورت وابسته به غلظت می‌شود.

Fernandes و همکاران در سال ۲۰۱۴ در مطالعه‌ای که روی سلول‌های میوبلاست H9c2 قلبی رت انجام دادند، نشان دادند که ایزوتوپیوسیانات سولفورافن طبیعی، قادر به تحریک دفاع آنتی‌اکسیدانی سلولی و القای فاز ۲ غیر آنزیمی و محافظت از سلول‌های قلبی، از طریق کاهش استرس اکسیداتیو و کاهش سیگنالینگ آپوپتوz است. علاوه بر این

بنابراین در درمان سرطان کمک‌کننده باشند. گیاهان خانواده Brassica مشتمل بر جنس‌های متفاوتی از کلم (سبز، قرمز)، گل کلم، کلم بروکلی و کلم پیچ می‌باشند. این گیاهان خواص آنتی‌اکسیدانی و ضد سرطانی دارند (۱۶). مطالعات نشان داده‌اند که ترکیبات جدایده از خانواده کلم از طریق مکانیسم‌های مختلف می‌توانند در درمان سرطان نقش داشته باشند. ایزوتوپیوسیانات موجود در این خانواده از طریق مهار هیستون-D-استیلاز ترانسفرازها و -DNA متیل ترانسفرازها در سلول‌های سرطانی کشت داده شده، اثرات ضد سرطانی را اعمال می‌کند (۱۷). همچنین گلوکوزینولات‌های موجود در این خانواده و محصولات ناشی از هیدرولیز آنها شامل ایندول و مشتق‌ات ایزوتوپیوسیانات‌ها، به عنوان ترکیبات ضد سرطانی مورد توجه بوده و اثر چندین ترکیب سرطان‌زا را کاهش می‌دهند (۱۸).

Asakage و همکاران در سال ۲۰۰۶ نشان دادند که سولفورافن، موجب مهار تکثیر و القای آپوپتوz در سلول‌های اندوتیال سیاهرگ نافی انسان (HUVEC) می‌شود. نتایج تحقیقات گروه نشان داد که سولفورافن یک ماده ضد رگ‌زایی امیدوارکننده است که موجب مهار تکثیر سلول اندوتیال از طریق ایجاد آپوپتوz و نیز بازداری تشکیل شبکه مویرگی می‌شود (۶).

Jackson و همکاران در سال ۲۰۰۶ به مطالعه و بررسی تأثیر سولفورافن بر مهار رگ‌زایی و اختلال در پیشرفت تقسیم اندوتیال، پلیمریزاسیون میکروتوبول و توقف چرخه سلولی در سلول‌های سرطانی پستان و کولون پرداختند. نتایج مطالعه آنها نشان داد که سولفورافن می‌تواند منجر به مهار تکثیر و مهار مهاجرت در سلول‌های اندوتیال مشتق از آنورت گردد؛ همچنین این ماده می‌تواند موجب مهار بیان فاکتور رشد اندوتیال در این سلول‌ها گردد. در نتیجه این تحقیق نشان داد که سولفورافن می‌تواند به عنوان عامل شیمی‌درمانی مورد استفاده قرار گیرد (۷).

Bertl و همکاران در سال ۲۰۰۶ مهار عملکرد سلول‌های اندوتیال و رگ‌زایی را به عنوان مکانیسم جدید

مهاری بر آثربویژن در پرده کوریو الانتوئیک جوجه است و تشکیل رگ‌های خونی را به طور موضعی در محل تیمار کاهش می‌دهد؛ همچنین باعث کاهش اندازه طول سری-دمی و وزن در جنین جوجه می‌شود. از طرفی بررسی فعالیت آنتی‌اکسیدانی نشان داد که این ماده به صورت وابسته به دوز منجر به مهار رادیکال‌های آزاد می‌گردد؛ بنابراین این ماده گیاهی می‌تواند به عنوان کاندید مناسب در مطالعات سلطان‌شناسی و سایر بیماری‌های وابسته به رگ‌زایی در نظر گرفته شود. بدینهی است مطالعات تجربی و آزمایشگاهی بیشتر در این زمینه، کاملاً ضروری است.

تقدیر و تشکر

این مطالعه با کد ۱۹/۲۶۵/IR/IAUM/۱۳۹۴ در کمیته اخلاقی به ثبت رسید و با حمایت مرکز تحقیقات بیولوژی کاربردی تکوین جانوری دانشگاه آزاد اسلامی مشهد انجام شد. بدین‌وسیله از تمامی عزیزانی که در این پژوهش ما را همراهی نمودند، سپاس‌گزاری می‌گردد.

سولفورافن باعث افزایش بیان پروتئین PGC-1A (یک عامل رونویسی درگیر در متابولیسم انرژی و سیستم دفاع آنتی‌اکسیدانی) می‌شود (۲۳). در مطالعه حاضر نتایج بررسی فعالیت‌های آنتی‌اکسیدانی سولفورافن نیز همراستا با یافته‌های مطالعات بیان شده بود.

نتایج بدست آمده از این پژوهش نشان داد، میانگین تعداد و طول انسعبابات عروق بجز طول انسعبابات گروه یک در گروه‌های تیمار نسبت به گروه شاهد کاهش معنی‌دار داشت. میانگین طول سری - دمی بجز گروه ۱ و وزن جنین‌های ۱۲ روزه بجز گروه ۱ نیز در گروه‌های تیمار نسبت به گروه شاهد اختلاف معنی‌دار نشان داد. همچنین با انجام تست درابکین و تعیین غلظت هموگلوبین خون نیز مشخص شد که غلظت هموگلوبین با رگ‌زایی نسبت مستقیم دارد و با نتایج حاصل از تحقیق Manikandan و همکاران هم راستا بود (۲۴).

نتیجه‌گیری

نتایج این پژوهش نشان داد که سولفورافن دارای اثر

منابع:

- 1- Adams RH, Alitalo K. Molecular regulation of angiogenesis and lymphangiogenesis. *Nat Rev Mol Cell Biol.* 2007; 8(6): 464-78.
- 2- Krämer I, Lipp HP. Bevacizumab, a humanized antiangiogenic monoclonal antibody for the treatment of colorectal cancer. *J Clin Pharm Ther.* 2007; 32(1): 1-14.
- 3- Folkman J. Proceedings: Tumor Angiogenesis Factor. *Cancer Res.* 1974; 34(8): 2109-13.
- 4- Kurz H, Burri PH, Djonov VG. Angiogenesis and vascular remodeling by intussusception: from form to function. *News Physiol Sci.* 2003; 18: 65–70.
- 5- Mostafaie A, Mohammadi-Motlagh HR, Mansouri K. Angiogenesis and the Models to Study Angiogenesis. *Yakhteh.* 2010; 11(4): 374-81.
- 6- Asakage M, Tsuno NH, Kitayama J, Tsuchiya T, Yoneyama S, Yamada J, et al Sulforaphane induces inhibition of human umbilical vein endothelial cells proliferation by apoptosis. *Angiogenesis.* 2006; 9(2): 83-91.
- 7- Jackson SJ, Singletary KW, Venema RC. Sulforaphane suppresses angiogenesis and disrupts endothelial mitotic progression and microtubule polymerization. *Vascul Pharmacol.* 2006; 46(2): 77-84.
- 8- Mohammadi M, Riahi-Madvar A, Pourseyed S, Aminizadeh M. The study of ZnP2+P and CuP2+P effects on myrosinase activity and sulforaphane production in *Lepidium draba*. *Journal of agricultural biotechnology.* 2016; 8(1): 81-94. [Persian]

- 9- Tepea B, Sokmenb M, Akpulata HA, Sokmena A. Screening of the antioxidant potentials of six *Salvia* species from Turkey. *Food Chem.* 2006; 95(2): 200-4.
- 10- Shahsavari N, Barzegar M, Sahari MA, Naghdibadi H. Antioxidant activity and chemical characterization of essential oil of *Buniumpersicum*. *Plant Foods Hum Nutr.* 2008; 63(4): 183-8. [Persian]
- 11- Baharara J, Namvar F, Mousavi M, Ramezani T, Mohamad R. Anti-angiogenesis effect of biogenic silver nanoparticles synthesized using saliva officinalis on chick chorioallantoic membrane (CAM). *Molecules.* 2014; 19(9): 13498-508.
- 12- Ayoughi F, Barzegar M, Sahari MA, Naghdi Badi H. Antioxidant effect of dill (*Anethum graveolens* Boiss.) oil in crude soybean oil and comparison with chemical antioxidants. *J Med Plants.* 2009; 30: 71-83. [Persian]
- 13- Miliauskas G, Venskutonis PR, van Beek TA. Screening of radical scavenging activity of some medicinal and aromatic plant extracts. *Food Chem.* 2004; 85(2): 231-7.
- 14- Veeravagu A, Hsu AR, Cai W, Hou LC, Tse VC, Chen X. Vascular endothelial growth factor and vascular endothelial growth factor receptor inhibitors as anti-angiogenic agents in cancer therapy. *Recent Pat Anticancer Drug Discov.* 2007; 2(1): 59-71.
- 15- Vargas A, Zeisser-Labouèbe M, Lange N, Gurny R, Delie F. The chick embryo and its chorioallantoic membrane (CAM) for the invivo evaluation of drug delivery systems. *Adv Drug Deliv Rev.* 2007; 59(11): 1162-76.
- 16- Sak K. Chemotherapy and dietary phytochemical agents. *Chemother Res Pract.* 2012; 2012: 282570.
- 17- Jacob J, Mahal HS, Mukherjee T, Kapoor S. Free radical reactions with the extract of brassica family. *Food Chem.* 2011; 129(3): 1132-8.
- 18- Wagner AE, Terschluesen AM, Rimbach G. Health promoting effects of Brassica-derived phytochemicals: from chemopreventive and anti- inflammatory activities to epigenetic regulation. *Oxid Med Cell Longev.* 2013; 2013: 964539.
- 19- Bertl E, Bartsch H, Gerhäuser C. Inhibition of angiogenesis and endothelial cell functions are novel sulforaphane-mediated mechanisms in chemoprevention. *Mol Cancer Ther.* 2006; 5(3): 575-85.
- 20- Davis R, Singh KP, Kurzrock R, Shankar S. Sulforaphane inhibits angiogenesis through activation of FOXO transcription factors. *Oncol Rep.* 2009; 22(6): 1473-8.
- 21- Yao H, Wang H, Zhang Z, Jiang BH, Luo J, Shi X. Sulforaphane inhibited expression of hypoxia-inducible factor-1a in human tongue squamous cancer cells and prostate cancer cells. *Int J Cancer.* 2008; 123(6): 1255-61.
- 22- Nishikawa T, Tsuno NH, Okaji Y, Sunami E, Shuno Y, Sasaki K, et al. The inhibition of autophagy potentiates anti-angiogenic effects of sulforaphane by inducing apoptosis. *Angiogenesis.* 2010; 13(3): 227-38.
- 23- Fernandes RO, Bonetto JH, Baregzy B, de Castro AL, Puukila S, Forsyth H, et al. Modulation of apoptosis by sulforaphane is associated with PGC- 1a stimulation and decreased oxidative stress in cardiac myoblasts. *Mol Cell Biochem.* 2015; 401(1-2): 61-70.
- 24- Manikandan P, Murugan RS, Priyadarshini RV, Vinothini G, Nagini S. Eugenol induces apoptosis and inhibits invasion and angiogenesis in a rat model of gastric carcinogenesis induced by MNNG. *Life Sci.* 2010; 86(25-26): 936-41.